

(PVD)

ZnS

Khanlary@yahoo.com :

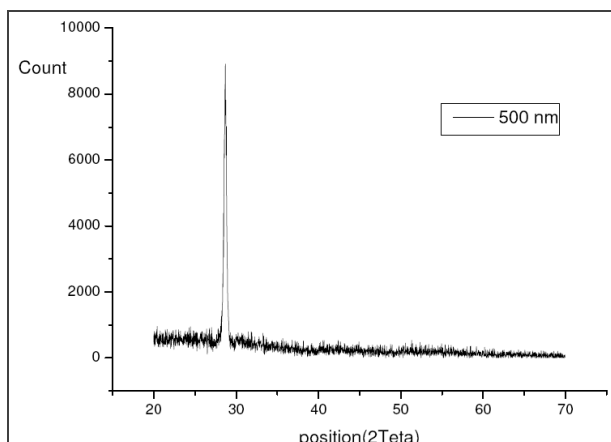
(دريافت مقاله: ۱۳۸۸/۴/۱۰؛ دريافت نسخه نهايى: ۱۳۸۹/۳/۲۵)

۱۰۰ nm ۶۰۰ nm ۲۰۰ °C ۲۵ °C ZnS

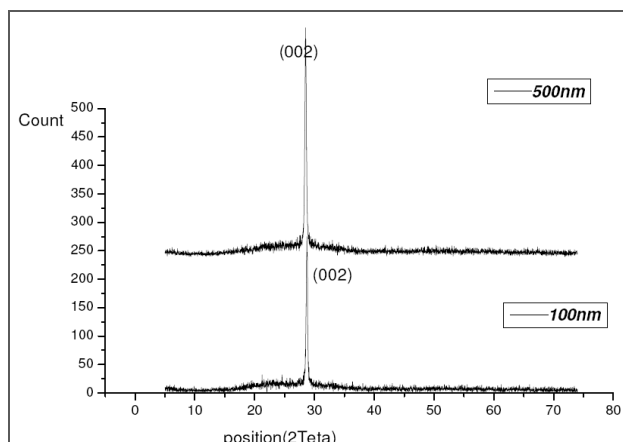
شديداً وابسته است. در اين بررسى عمدتاً به تعين ميزان وابستگى خواص فيزيکي و اپتيكى ZnS به ضخامت و تغيير دماي زيرلايه توجه داريم. گاف انرژي، ضريب شکست و ثابت خاموشى نمونهها در دما و چند ضخامت مختلف تعين گردیدند تغيير دماي زيرلايه توجه داريم. گاف انرژي، ضريب شکست و ثابت خاموشى نمونهها در دما و چند ضخامت مختلف تعين گردیدند.

فilm‌های ZnS با روش تبخیر گرمایی توسط دستگاه لایه نشانی PVD (مدل Auto³⁰⁶) ساخت شرکت (Edwards)، برروی زيرلايه‌های شيشه‌ای (CAT no.7106)، با پودرهای ۱۰ ميكروني ZnS ساخته شدند. پودر نمونه‌ها در بوته‌هایی از جنس تنگستن به عنوان چشمeh گرما و در خلاء 10^{-5} torr $\times 10^5$ نانومتر با آهنگ لایه نشانی $10A^{\circ}s^{-1}$ ، لایه نشانی ۱۰۰

نيمه رساناهای ترکيبی گروه II-VI در محدوده وسيعى از جمله در قطعات اپتوالكترونيك، مدولاتورهای الکترواپتيك و پوشش‌های اپتيكى سلول‌های خورشيدی کاربرد دارند. به طور كلی CdS و CdTe به عنوان لایه بافر سلول‌های خورشيدی به طور گسترشده اى مورد استفاده قرار می‌گيرند. با اين وجود به دليل خطرات سمی محيط زيستى كه با استفاده از لایه‌های CdS ايجاد شده، امروزه به گسترش توليد لایه‌های بدون ZnS توجه ويزهای می‌شود [۱]. يكى از بهترین جايگزين‌ها Cd است. سولفييد روی (ZnS) با نوار منوعه انرژي مستقيم ۳/۷ eV خواص فيزيکي بى نظيري همچون ضريب شکست بالا و جذب اپتيكى پايان در محدوده طيف مرئي و مادون قرمز دارد. اعتقاد براین است که پارامترهای اپتيكی مواد film نازک به طور كلی با همان مواد در حالت حجمی متفاوتند و اين اختلاف پارامترهای اپتيكی به شرایطي که لایه نشانی در آن انجام می‌شود،



شکل ۲. نمودار XRD برای نمونه‌های ZnS در ضخامت ۵۰۰nm در دمای ۲۰۰°C.



شکل ۱. نمودار XRD برای نمونه‌های ZnS در ضخامت ۱۰۰nm و ۵۰۰nm در دمای اتاق (۲۵°C).

قله‌ای در زاویه $2\theta = 28/80^\circ$ مشاهده شد که مطابق با ساختار مکعبی (زینک بلند) است. با افزایش دمای زیر لایه، شدت قله به طور محسوسی افزایش یافته که نشان دهنده بزرگتر شدن اندازه دانه‌هاست و ناشی از افزایش در تحرک اتم‌ها می‌باشد.

گاف انرژی نمونه‌ها با داشتن ضریب جذب (α) و با استفاده از معادله تائوک^۱ محاسبه شده است:

$$\alpha(\nu) = \frac{\beta(h\nu - E_g)}{h\nu} \quad (1)$$

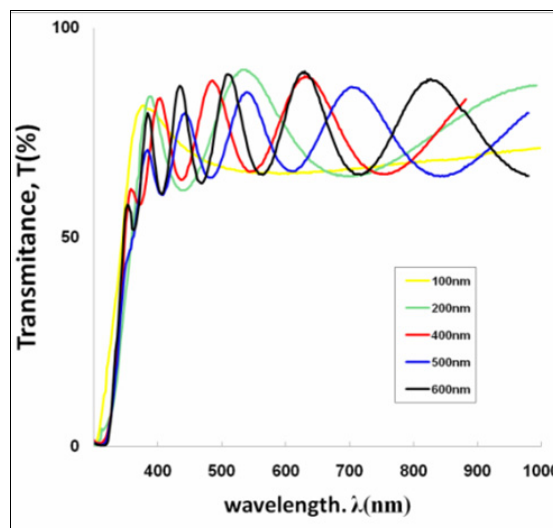
عبور اپتیکی فیلم‌های تهیه شده در دمای اتاق در شکل ۳ و در دمای ۲۰۰°C در شکل ۵ در محدوده ۱۰۰۰-۲۰۰۰nm نشان داده شده است. شکل ۳ عبور اپتیکی در حدود ۶۰٪ برای ضخامت ۱۰۰nm و در حدود ۴۸٪ برای ۵۰۰nm را نشان می‌دهد، که با افزایش دمای زیر لایه در ضخامت‌های پایین‌تر ۱۰۰nm عبور اپتیکی به حدود ۸۲٪ می‌رسد، که با افزایش ضخامت فیلم‌ها به حدود ۵۸٪ تقلیل می‌یابد. وجود قله‌های تداخلی در شکل ۴ می‌تواند مؤید یکنواختی فیلم‌ها باشد. علاوه بر این، شکل ۴ به طور واضح بر جایه‌جایی لبه جذب، با افزایش ضخامت فیلم‌ها، به سمت طول موج‌های کوتاه‌تر دلالت می‌کند. ثابت جذب تمام فیلم‌ها بالاتر از 10^4 cm^{-1} به دست آمد.

شدن. در مرحله بعد دمای زیرلایه تا ۲۰۰°C بالا برده شد و فیلم‌هایی با ضخامت‌های ۱۰۰ nm تا ۶۰۰nm با همین آهنگ تهیه گردیدند.

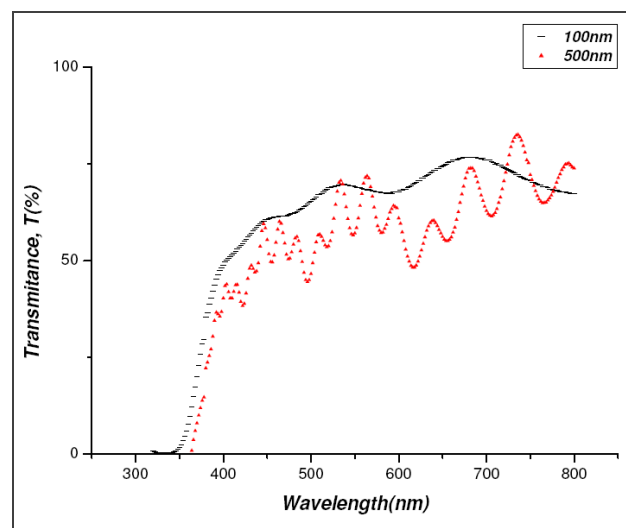
جهت مطالعه ساختار بلوری لایه‌ها، نمونه‌های تهیه شده تحت آنالیز (PHILPS-PW3710) XRD قرار گرفتند. همچنین جهت تعیین ثابت‌های اپتیکی و مطالعه لبه جذب نمونه‌های مختلف از دستگاه اسپکتروفوتومتر آزمایشگاه (m350 double beam spectrophotometer) برای تهیه طیف عبور در ناحیه ۱۰۰۰-۲۰۰۰nm و در دمای اتاق استفاده شد. با تحلیل این داده‌ها ثابت‌های اپتیکی تعیین شدند.

شکل ۱ نمودار XRD را برای دو نمونه ZnS ۱۰۰ و ۵۰۰ نانومتری در دمای زیرلایه‌ای اتاق ۲۵°C نشان می‌دهد. در ضخامت ۱۰۰nm پیکی در زاویه $2\theta = 28/80^\circ$ مشاهده شد که با صفحه ۰۰۲ مطابقت دارد و نشان دهنده ساختار هگزاگونال (ورتیزیت) ZnS است. با افزایش ضخامت به ۵۰۰ nm قله در زاویه $2\theta = 28/501^\circ$ مشاهده شد که مطابق با ساختار هگزاگونال (ورتیزیت) ZnS است [۶]. با افزایش ضخامت، شدت قله افزایش و پنهانی آن کاهش یافته است، که نشان دهنده بزرگتر شدن اندازه دانه‌ها با افزایش ضخامت است. در شکل ۲ طیف XRD نمونه ۵۰۰m در دمای زیرلایه ۲۰۰°C نشان داده شده است.

۱. Tauc



شکل ۴. تغییرات عبور اپتیکی با طول موج در فیلم‌های ZnS در دمای 200°C .

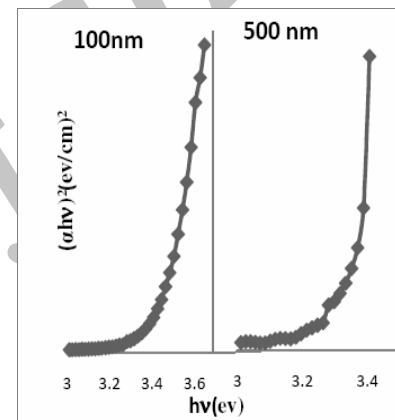


شکل ۳. تغییرات عبور اپتیکی با طول موج در فیلم‌های ZnS در دمای اتاق (25°C).

مستقیم نمونه‌ها به دست می‌آید. مقادیر گاف انرژی نمونه‌ها در دمای اتاق برای نمونه 100nm و 500nm به ترتیب $3/48\text{eV}$ و $3/39\text{eV}$ و برای نمونه‌های با زیر لایه 200°C از $3/98\text{eV}$ تا $3/56\text{eV}$ مناسب با ضخامت نمونه‌ها به دست آمد که در توافق با کار دیگران است [۲] و [۳].

در این تحقیق دیده می‌شود که گاف انرژی با کاهش ضخامت افزایش می‌یابد. تغییرات گاف انرژی E_g ، بر حسب ضخامت در شکل ۷ نشان داده شده است. گاف انرژی یک نیمه‌هادی از دمای زیر لایه، میزان ناخالصی، نقص در شبکه، ناخالصی‌های باردار، بی نظمی در مرز دانه‌ها و سایز دانه‌ها اثر می‌گیرد. علاوه بر این کشش کرنشی به دلیل کشیدگی شبکه، باعث کاهش گاف انرژی خواهد شد؛ در حالی که تراکم کرنش، گاف انرژی را به دلیل فشردگی شبکه فیلم افزایش می‌دهد. به هر حال وابستگی به سایز ذرات ممکن است که برجسته‌تر باشد. به طوری که گاف انرژی با کاهش سایز ذرات افزایش می‌یابد و این مطابق با پراش XRD نمونه‌هاست.

از مقایسه شکل‌های ۵ و ۶ در مورد گاف انرژی نمونه‌های 100 و 500 نانومتری می‌توان ادعا کرد که با افزایش دمای زیر لایه مقدار گاف انرژی افزایش یافته است که می‌تواند به اثر بورستین-موس^۲ نسبت داده شود [۳].



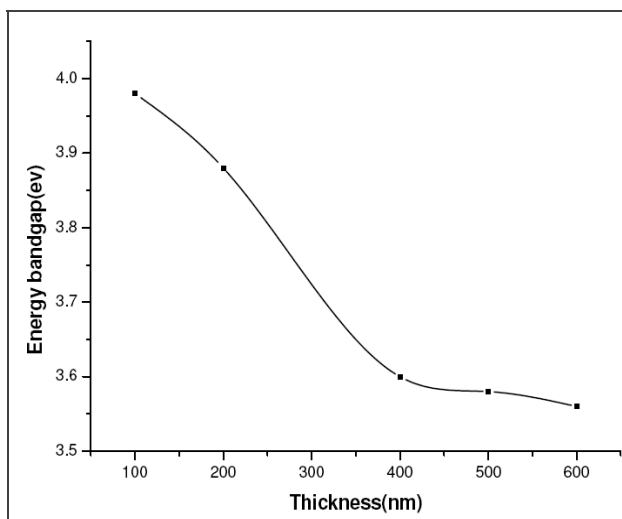
شکل ۵. تغییرات $(ahv)^2$ بر حسب (hv) برای نمونه‌های تهیه شده در دمای اتاق (25°C).

در طول موج‌های کوتاه فیلم‌های نازک‌تر مقادیر جذب کمتری نسبت به فیلم‌های ضخیم‌تر داشتند. زیرا با افزایش ضخامت و افزایش سایز دانه‌ها، فضای خالی بین دانه‌ای بیشتر می‌شود و این باعث کاهش جذب می‌گردد. پراتاپ و همکارانش نتایج مشابهی را با استفاده از روش CSE^۱ گزارش کردند [۲].

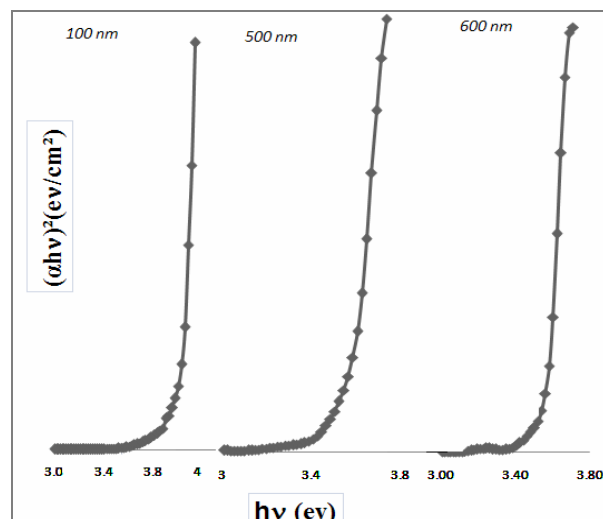
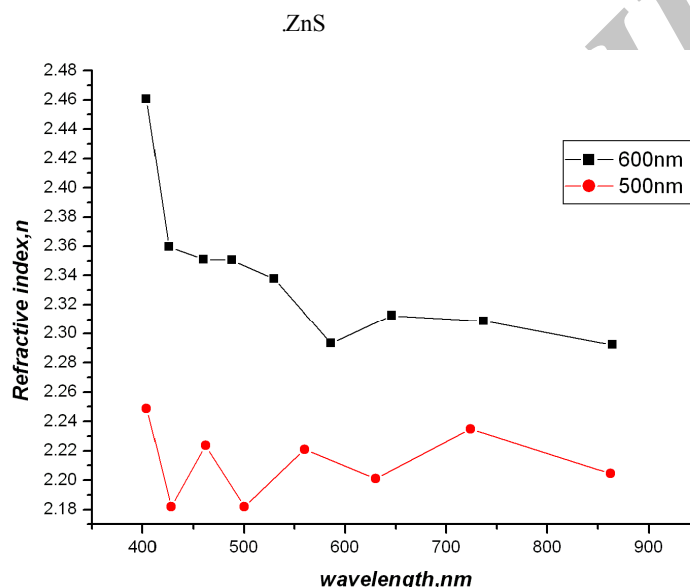
نوار ممنوعه اپتیکی نمونه‌ها از وابستگی ضریب جذب (α) به انرژی فوتون‌ها می‌آید. منحنی $(ahv)^2$ بر حسب (hv) خطی است و این دلالت بر نوار ممنوعه مستقیم نمونه‌ها دارد و از برون یابی خط مستقیم منحنی‌ها تا محور x ، گاف انرژی

^۱. Closed -Spaced Evaporation

^۲. Burstein-Moss



شکل ۷. نمودار تغییرات گاف انرژی برحسب ضخامت فیلم

شکل ۶. تغییرات $\alpha \cdot h\nu$ بر حسب $(h\nu)$ برای نمونه های تهیه شده در دماي 200°C .

شکل ۸. نمایش تغییرات ضریب شکست بر حسب طول موج برای دو فیلم ZnS با ضخامت های مختلف.

محدوده طول موج $400\text{--}800\text{ nm}$ نشان می‌دهد که ضریب شکست با افزایش طول موج کاهش می‌یابد. همچنین ضریب شکست با افزایش ضخامت فیلم‌ها از 500 nm تا 600 nm افزایش می‌یابد. ضریب شکست به چگالی فضاهای خالی و کسر پکیدگی آنها که وابسته به چگالی چیدمان ماده است، بستگی دارد. افزایش ضریب شکست ممکن است به دلیل ماهیت فشرده چیدمان دانه‌ها باشد که متناسب با ضخامت فیلم و به دلیل ترکیب دانه‌های است. بالاترین مقدار ضریب شکست فیلم‌ها $2/40$ است که مربوط به ضخامت 600 nm می‌شود.

ضریب شکست، n ، برای نمونه‌های تهیه شده در ضخامت بالاتر از 200 nm در ناحیه تداخلی با استفاده از رابطه اسوانپل به دست می‌آید [۴].

$$n = [N^2 + (N^2 - s^2)^{1/2}]^{1/2}, \quad (2)$$

$$N = 2sT + \frac{s^2 + 1}{2}, \quad (3)$$

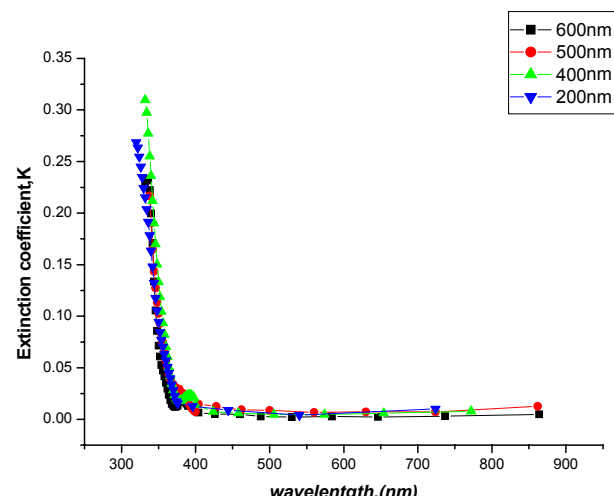
که s ضریب شکست زیرلایه و T عبارت است از:

$$T = \frac{T_{\max} - T_{\min}}{T_{\max} \times T_{\min}} \quad (4)$$

در شکل ۸ تغییرات ضریب شکست با ضخامت فیلم‌ها در

مرز دانه‌ها و درصد فضاهای خالی در دانه‌ها باشد. مقادیر بالای ثابت خاموشی در ضخامت‌های بالاتر فیلم ممکن است به دلیل افزایش پراکندگی اپتیکی و اتلاف اپتیکی ناشی از افزایش ناهمواری سطح با افزایش ضخامت باشد [۲، ۴].

لایه‌های نازک ZnS با روش تبخیر در خلاء دردمای ۲۵ و ۲۰۰ درجه سانتیگراد (زیر لایه) و ضخامت‌های مختلف ۶۰۰nm-۴۰۰nm-۳۰۰nm-۲۰۰nm تهیه شدند. فیلم‌ها دارای ساختار خالص هگزاگونال در دمای اتاق بودند که با افزایش دمای زیرلایه به ۲۰۰°C به مکعبی تغییر کرد. طیف عبور نمونه‌ها، عبور بالایی را در ضخامت گاف انرژی نمونه‌ها از ۳/۹۸ eV به ۳/۵۶ eV کاهش یافت در حالی که با افزایش دمای زیرلایه گاف انرژی برای دو نمونه ۱۰۰nm و ۵۰۰nm به ترتیب از ۳/۴۴ eV و ۳/۳۶ eV به ۳/۵۶ eV و ۳/۹۳ eV افزایش پیدا می‌کند، که نشان دهنده افزایش سایز دانه‌هاست که نتایج XRD نیز مؤید این مطلب است [۱، ۵]. ضریب شکست (n) و ثابت خاموشی نیز برای نمونه ۶۰۰nm در طول موج ۶۲۰nm به ترتیب ۰/۰۰۲ و ۲/۳۱ به دست آمد [۲].



شکل ۹. نمایش تغییرات ضریب خاموشی بر حسب طول موج برای فیلم‌های ZnS با ضخامت‌های مختلف.

مقدار ثابت خاموشی به طور مستقیم با استفاده از ضریب جذب و استفاده از رابطه زیر محاسبه می‌شود:

$$k = \frac{\alpha\lambda}{4\pi}. \quad (5)$$

ثابت خاموشی نیز مقدار بیشینه‌ای در لبه جذب دارد. تغییرات ثابت خاموشی با طول موج در فیلم‌های ZnS که ضخامت‌های مختلفی را دارند در شکل ۹ نشان داده شده است. مقادیر ثابت خاموشی از مرتبه 10^{-2} است. مقادیر نسبتاً بالای ضریب خاموشی در این تحقیق می‌تواند بدلیل نقایص کریستالی مانند

- Reddy. *Applied Surface Science* **253** (2006) 2409.
 4. R Swanepoel, *Journal of Physics E: Scientific Instruments*, **16** (1983) 1214.
 5. Xiaochun Wu, Fachun Lai, Limei Lin, Jing Lv, Binping Zhuang, Qu Yan, Zhigao Huang. *Applied Surface Science* **254** (2008) 6455.

1. M Rusu, W Eisele, R Wiirz, A Ennaoui, M Ch Lux-Steiner, T P Niesen, F Karg, *J. Phys. Chem. Solids* **64** (2003) 2037.
2. P Prathap¹, N Revathi¹, Y P Venkata Subbaiah² and K T Ramakrishna Reddy., *J. Phys. Condens. Matter* **20** (2008) 035205.
3. Y P Venkata Subbaiah, P Prathap, K T Ramakrishna